УДК 551.4:551.8

ПОЛИГОНАЛЬНЫЕ КРИОГЕННО-ЭОЛОВЫЕ ОБРАЗОВАНИЯ ТИБЕТСКОГО ПЛАТО

А.А. Галанин¹, И.В. Климова¹, И.И. Христофоров¹, Ц. Ву², Чж. Дзе²

¹Институт мерзлотоведения им. П.И.Мельникова СО РАН, 677010, Якутск, ул. Мерзлотная, 36, Россия

²Northwest Institute of Eco-invironment and Resource, Chinese Academy of Science, 730000, Lanzhou, Gansu, 320 Donggang West Road, China

В пределах криолитозоны Тибетского плато широко распространен полигональный микрорельеф с размерами ячеек 15—20 м, дистанционно напоминающий рисунок арктических лессово-ледовых равнин северо-востока Евразии и Северной Америки. В отличие от последних, он образован частично закрепленными современными песчаными дюнами высотой до 2.5—3.0 м и вторичными (эпигенетическими) песчаными жилами U-образной формы, наследующими древнюю полигональную решетку. На основе полевых исследований в окрестностях высокогорной станции Бей-Лу-Хе (истоки р. Янцзы) было установлено, что полигональные дюны и U-образные жилы развиваются на поверхности 10—12-метровой террасы, сложенной гравийно-щебнистыми аллювиальными отложениями позднего неоплейстоцена. Кровля террасы представляет собой пустынную мостовую с ветрогранниками. Полигональные дюны и U-образные жилы сложены хорошо сортированным кварц-карбонатным песком со средним размером зерен 2.0—2.2 мм. На основе данных георадиолокации установлено, что в пределах развития полигональных дюн кровля подстилающих многолетнемерзлых пород расположена на глубинах от 2 до 4 м и имеет закономерный волнистый характер. Авторы пришли к выводу, что формирование полигональных дюн связано с биогенно-эоловым механизмом эолового осадконакопления вдоль границ древней полигональной морозобойной решетки.

Полигональный микрорельеф, дюны, песчаные жилы, пустынная мостовая, ветрогранники, крио-генно-эоловые образования, полигональная сеть морозобойных трещин, высокогорная криолитозона, Тибетское нагорье

PERIGLACIAL-AEOLIAN POLYGONAL SURFACE STRUCTURES IN THE TIBETAN PLATEAU

A.A. Galanin, I.V. Klimova, I.I. Khristoforov, Q. Wu, Zh. Ze

The surface pattern of permafrost area in the Tibetan Plateau, with 15—20 m polygons, resembles the patterned ground of the Arctic periglacial loess plains in northeastern Eurasia and North America. However, unlike the Arctic plains, it consists of semi-stabilized modern sand dunes, up to 2.5—3.0 m high, and U-shaped epigenetic ice wedge casts inherited from an ancient polygonal network on the surface of a 10—12-m terrace of the Yangtze River. The polygonal dunes and the U-shaped sand wedges were studied in the Yangtze headwaters in the vicinity of the high-altitude research station Bei-Lu-Xe. The polygons have desert pavement floors with ventifacts, composed of Late Pleistocene alluvial gravel and debris. The dunes and wedges consist of well sorted quartz-carbonate sand with an average grains size of 2.0—2.2 mm. Ground Penetrating Radar surveys in the area revealed the permafrost table at depths varying from 2 m to 4 m below the dunes. The polygonal dunes may have formed by biogenic-aeolian deposition over an ancient system of ice wedges.

Polygonal surface pattern, dune, sand wedge, ice wedge, desert pavement, ventifact, periglacial-aeolian features, frost cracks, high-altitude permafrost, Tibetan Plateau

ВВЕДЕНИЕ

На высокогорных равнинах Тибетского плато в интервале 4000—5000 м наблюдаются обширные участки с ярко выраженным полигональным микрорельефом (рис. 1; дополнительные материалы, fig. 2—7, https://sibran.ru/journals/Suppl_Galanin.pdf). Размеры ячеек (10—20 м) указывают на криогенное происхождение и напоминают микрорельеф лессово-ледовых равнин с массивными полигональножильными льдами (ПЖЛ), широко распространенных в пределах криолитозоны Северной Азии и Америки (см. доп. материалы, fig. 14). ПЖЛ в Тибете встречаются крайне редко. Имеются сведения лишь о небольших неактивных жилах шириной до 0.7 м и глубиной до 1.5 м, установленных на высоте около

© Галанин А.А., Климова И.В., Христофоров И.И. $^{\bowtie}$, Ву Ц., Дзе Чж., 2023

⊠e-mail: zodik@mail.ru

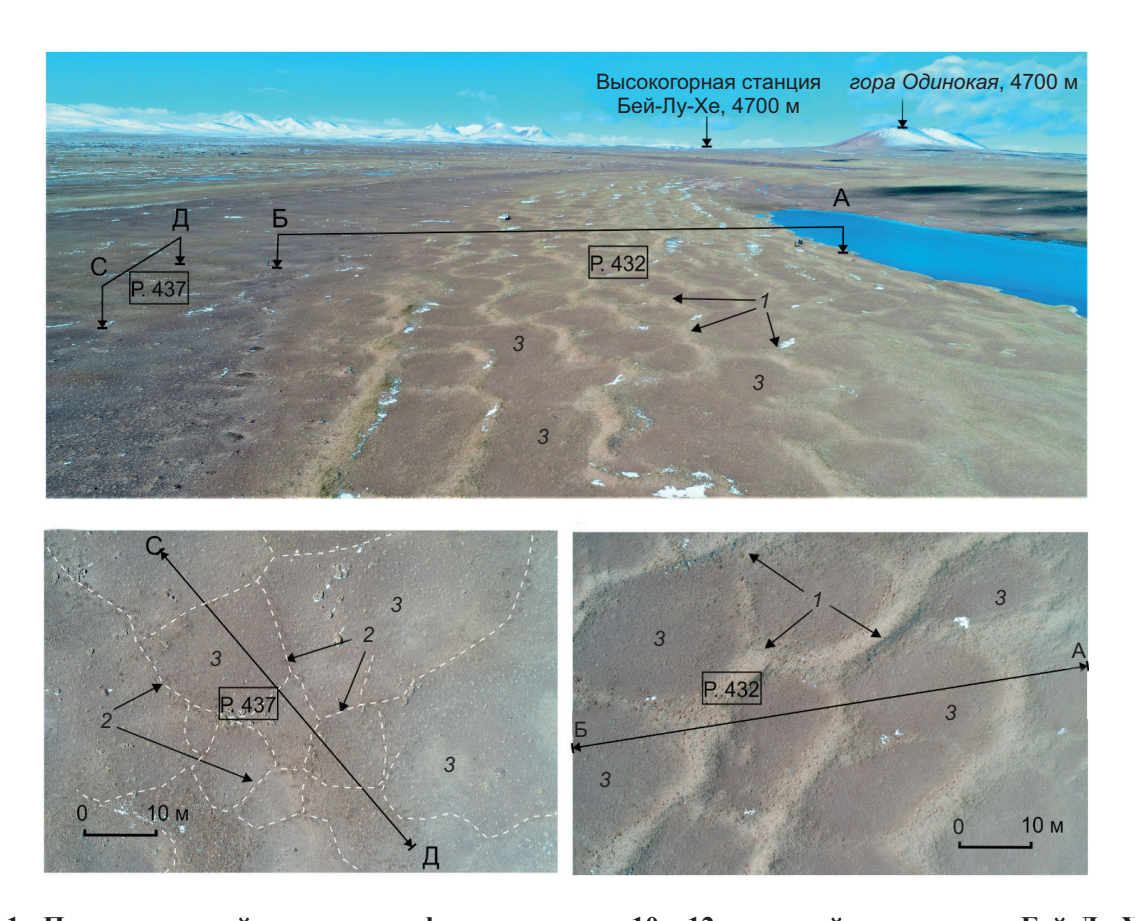


Рис. 1. Полигональный микрорельеф поверхности 10—12-метровой террасы р. Бей-Лу-Хэ в окрестностях одноименной высокогорной научно-исследовательской станции Северо-Западного института экологии и природных ресурсов Китайской академии наук (СЗИЭПР КАН), Цинхай-Тибетское нагорье.

Октябрь 2018 г. Здесь и далее: фото А.А. Галанина. I — гребни полигональных песчаных дюн; 2 — сеть полигональных песчаных жил (ППЖ); 3 — щебнисто-галечные днища полигонов с ветрогранниками; линии АБ и СД — георадиолокационные профили; Р. 432 и Р. 437 — местоположение и номер шурфа.

4800 м [Li, He, 1990; Li, Jiao, 1990; Cheng et al., 2005, 2006]. Их размеры и возраст (21—15 тыс. л. н.) совершенно не сопоставимы с позднеплейстоценовыми ПЖЛ арктической криолитозоны. Вместо ПЖЛ в Тибете широко распространены первичные полигональные песчаные жилы (ППЖ), сложенные супесями с тонкой вертикальной слойчатостью, а также песчаные и гравийно-галечные псевдоморфозы по вытаявшим ПЖЛ позднеплейстоценового возраста [Liang, Cheng, 1984; Xu, Pan, 1990; Pan, Chen, 1997; Owen et al., 1998; Wang et al., 2003; Jin et al., 2007].

Нижняя граница современной криолитозоны в Тибете приурочена к отметкам 4100—4200 м, на севере — 4600—4700 м [Jin et al., 2007]. Однако ППЖ и псевдоморфозы по ПЖЛ распространены намного шире и встречаются за пределами современной криолитозоны на высотах 2500—3000 м и ниже [Lehmkuhl, 1995; Lehmkuhl, Hovermann, 1996]. Они также установлены на юге пустыни Гоби к северу от нагорья на высотах 1400—2500 м [Wang et al., 2003].

Широкий ареал распространения реликтовых криогенных структур свидетельствует о значительно большей площади криолитозоны в недавнем прошлом. Дж. Ченг и Х.Дж. Джин с соавторами [Cheng et al., 2005; Jin et al., 2007] установили, что во время последнего термического минимума (МИС 2) в истоках р. Хуанхэ на высотах 4500—4800 м среднегодовые температуры опускались на 6—7 °С ниже по сравнению с современными. Предполагается также, что для формирования некоторых типов ППЖ требуются температуры на 10—15 °С ниже современных [Wang et al., 2003].

К настоящему времени опубликовано много данных о строении и абсолютном возрасте полигонально-жильных образований Тибетского плато [Xu, Pan, 1990; Wang, French, 1991; Wang, Luo, 1991; Pan, Chen, 1997; Wang et al., 2003; Jin et al., 2007]. Вместе с тем практически не освещены строение и генезис собственно полигонального микрорельефа, отчетливо видимого на космических снимках. Унас-

ледован ли этот микрорельеф от предшествующих криохронов и является результатом деградации первичных ПЖЛ либо он обусловлен современными процессами, в том числе некриогенными?

Цель статьи — изучение особенностей строения и генезиса полигональных образований и других смешанных криогенно-эоловых типов микрорельефа, формирующихся в пределах горной криолитозоны Тибетского плато на высотах более 4 тыс. м. Лежащие в основе статьи материалы получены в 2017—2018 гг. по полевым исследованиям в окрестностях высокогорной научно-исследовательской станции Бей-Лу-Хе (Веі-Lu-Хе) Северо-Западного института экологии и природных ресурсов Китайской академии наук (СЗИЭПР КАН) (см. доп. материалы, fig 1).

ЛАНДШАФТНО-КЛИМАТИЧЕСКИЕ УСЛОВИЯ ИССЛЕДУЕМОГО РАЙОНА

Рассматриваемая территория расположена в истоках р. Янцзы в восточной части высокогорной пустыни Хох Ксил площадью около 45 тыс. км². Территория представляет собой высокогорную структурно-денудационно-аккумулятивную равнину с абсолютными отметками 4400—4800 м, окруженную с севера хр. Куньлунь, с юга и запада — горами Тангла, а с востока — отрогами хр. Баян-Хара-Ула. Горные хребты достигают отметок 6000—6500 м и несут современное оледенение.

Скальные породы представлены мезозойскими и кайнозойскими аргиллитами, алевролитами, песчаниками и мергелями. Современный осадочный чехол мощностью до 10—15 м сложен элювиальными щебнисто-дресвяными отложениями, пролювиально-аллювиальными галечно-щебнисто-песчаными отложениями (низкие террасы), а также разнообразными эоловыми отложениями [Liu et al., 2013; Xiao et al., 2015; Lu et al., 2015; Qiang et al., 2016; Dong et al., 2017].

Участок полевых исследований находится в окрестностях научной станции Бей-Лу-Хе. Среднегодовая температура воздуха здесь составляет около –3 °C [Cheng et al., 2005; Jin et al., 2007], осадки — 400 мм/год, испарение достигает 1360 мм и в 4.2 раза превосходит количество осадков [Cheng et al., 2005]. За весь период наблюдений с 1961 по 2010 г. средние температуры поверхностного слоя (почвы) в регионе повысились на 1.3 °C [Jin et al., 2011], в некоторых районах скорость роста средних температур поверхности достигала 0.77 °C за 10 лет [Luo et al., 2016]. Многолетнемерзлые породы (ММП) мощностью от 6.5 до 65.5 м и температурами –1...–2 °C имеют сплошное распространение [Cheng et al., 2005; Jin et al., 2007]. Содержание льда в них достигает 50 %. В 1980—1990 гг. средняя мощность сезонно-талого слоя (СТС) в истоках р. Янцзы на высотах 4500 м составляла 0.5—1.5 м [Wang, Luo, 1991], к настоящему времени она увеличилась до 2—4 м [Jin et al., 2007]. Современные криогенные образования представлены мерзлотными полигонами, буграми пучения, пятнами-медальонами [Bian, Guo, 1990; Jin et al., 2007], термокарстовыми депрессиями и др.

Растительный покров района образован пестрой мозаикой обедненных степей, лугов и незадернованных каменистых участков. Сочетание интенсивного выветривания, мощной ветровой нагрузки, а также слабый (30—40 %) растительный покров приводят к интенсивному выдуванию продуктов выветривания [Wang, 1997; Yang et al., 2004]. Дефляционный рельеф представлен котловинами и нишами выдувания с каменистыми днищами, дефляционными останцами, ярдангами, пустынными мостовыми [Dong et al., 2017]. Интенсивная дефляция вызывает увеличение глубины сезонного протаивания, снижение зеркала надмерзлотных вод, еще большее иссушение поверхности и усиление процессов дефляции [Yang et al., 2004].

Параллельно с дефляцией и площадным термокарстом на отдельных участках происходит современная эоловая аккумуляция. Эоловые формы представлены дюнами и барханами, а также слабозакрепленными и незакрепленными песчаными и лессовидными покровами [Dong et al., 2017].

МЕТОДЫ ИССЛЕДОВАНИЙ

Строение полигональных образований изучено в нескольких шурфах и расчистках глубиной до 3 м в пределах 10—12-метровой террасы р. Бей-Лу-Хе в 4 км к западу от одноименной высокогорной станции (см. рис. 1). Исследованные разрезы охарактеризованы стандартными методами и опробованы на гранулометрический и минералогический анализы в двух шурфах Р. 432 и Р. 437. Для сравнения были опробованы современные незакрепленные эоловые пески на участке, слагающие поля теневых дюн в 30 км к северу от станции (расчистка Р. 400).

Гранулометрический анализ отложений (25 образцов) выполнен стандартными методами ситового рассева и ареометрии [Шванов, 1969] в Главной государственной лаборатории инженерной геокриологии (ГГЛИГ) Северо-Западного института экологии и природных ресурсов Китайской академии наук (СЗИЭПР КАН). Статистическая обработка результатов выполнена в программе Gradistat [Blott, Pyc, 2001] по модифицированному геометрическому методу Р. Фолка и Д. Варда [Folk, 1980; Blott, Pye, 2001]. Результаты гранулометрических анализов приведены в доп. материалах (см. table 1).

Количественный минералогический анализ песчаной фракции (17 проб) выполнен в лаборатории ИМЗ СО РАН с использованием бинокулярного микроскопа и поляризационного минералогического микроскопа, а также иммерсионных жидкостей (см. доп. материалы, table 2). Для анализа использовалась модальная фракция (100—250 мкм), которая извлекалась с помощью сит из предварительно отмученного образца. Для одного образца современных незакрепленных дюн выполнен минералогический анализ двух гранулометрических фракций (50—100 и 250—500 мкм).

Анализ степени окатанности зерен выполнен под бинокулярным микроскопом для случайной выборки зерен из фракции 0.25—0.50 мм, предварительно отмытых в дистиллированной воде. Оценка класса окатанности выполнялась по 5-балльной шкале А.В. Хабакова [1946].

Микроморфологический анализ песчаных зерен выполнен в ГГЛИГ (г. Ланьчжоу) на сканирующем электронном микроскопе Quanta FEG-450 FEI. Для анализа использована фракция 250—500 мкм, которая предварительно была промыта в 10%-м растворе соляной кислоты, а затем в дистиллированной воде. Высушенные частицы песка наклеивали на металлическую пломбу и подвергали напылению золотом под вакуумом. После чего образцы помещали в микроскоп и исследовали при различном увеличении (×50—200).

Анализ катионно-анионного состава солевой вытяжки (3 пробы) и других показателей выполнен стандартными методами (титрометрия, капиллярный электрофорез и потенциометрия) в аккредитованной лаборатории подземных вод и геохимии криолитозоны Института мерзлотоведения им. П.И. Мельникова СО РАН (г. Якутск) (см. доп. материалы, table 3).

Оценка возраста отложений выполнена на основе стратиграфического положения, а также ранее опубликованных предшественниками результатов оптико-люминесцентного и радиоуглеродного датирования. Авторами настоящей статьи также получена одна ¹⁴С-дата, оказавшаяся современной. Радиоуглеродное датирование выполнено методом жидкостной сцинтилляции на спектрометре-радиометре Quantulus 1220 в радиоуглеродной лаборатории ИМЗ СО РАН (г. Якутск).

Изучение внутреннего строения и морфологии кровли многолетнемерзлых пород (ММП) выполнен методом георадиолокации по двум профилям АБ и СД протяженностью 198 и 60 м (см. рис. 1). Использованы георадиолокаторы МАLA (Швеция) с центральной частотой 100 МГц и PulseEkko (Sensor & Softwar, Канада) с центральными частотами 100 и 200 МГц. Измерения проводились с помощью методики зондирования с выставлением постоянного расстояния между приемной и передающей антеннами с шагом 0.1 и 0.2 м. Привязка результатов измерений к местности выполнена с помощью GPS-приемников Garmin 62S и Garmin 64S. Обработка данных осуществлялась на штатном программном обеспечении георадаров PulseEkko (Sensors & Software Inc., Канада), а также с помощью перевода через формат SEGY на программном обеспечении GeoScan-32.

Для определения диэлектрической проницаемости исследуемой среды и привязки результатов измерений к реальным глубинам разреза использован метод общей глубинной точки, выполненный с шагом 0.1 м в пределах участка с горизонтальным залеганием структурных границ. Кроме того, для привязки геофизических разрезов использованы данные бурения на контрольном участке станции Бей-Лу-Хе [Jin et al., 2007].

СТРОЕНИЕ ПОЛИГОНАЛЬНОГО КРИОГЕННО-ЭОЛОВОГО МИКРОРЕЛЬЕФА

Исследованный участок ($34^{\circ}50'14''$ с.ш., $92^{\circ}59'52''$ в.д.) полигонального микрорельефа приурочен к поверхности 10—12-метровой аллювиальной террасы р. Бей-Лу-Хе в 5.5 км к востоку от одноименной высокогорной научно-исследовательской станции СЗИЭПР КАН. Размеры элементарных ячеек варьируют от 15 до 20 м. На аэрофотоснимках (см. рис. 1) днища полигонов выделяются более темным фототоном, а границы между полигонами — более светлым.

Микрорельеф образован специфическими песчаными дюнами, ориентированными вдоль полигональной сетки. Их поверхность частично (20—40 %) закреплена куртинами злаков (см. доп. материалы, fig. 2—8). Высота дюнных бровок над днищами междюнных понижений варьирует от 0.5 до 2.5 м. Наиболее развитые и высокие дюны приурочены к повышенным участкам террасы. В направлении пологих понижений высота дюн постепенно сокращается, бровки становятся менее отчетливыми, а полигональная структура поверхности террасы становится менее явной.

В междюнных понижениях, имеющих форму плоских «блюдец» диаметром 15—20 м, обнажаются красноватые щебень и галька подстилающих аллювиальных отложений с единичными куртинами травянисто-кустарничковой растительности. Многие поверхностные обломки имеют признаки ветровой корразии и огранки. Встречаются ветрогранники следующих типов: классические крупные трехгранники с уплощенной нижней поверхностью (см. доп. материалы, fig 9, ϱ); мелкие «перевертыши» с 3—4 гранями, имеющими отполированную ямчатую либо гладкую поверхность (см. доп. материалы, fig 9, ϱ , ϱ); уплощенные «вертлюги» криволинейной аэродинамической формы с матовой шероховатой

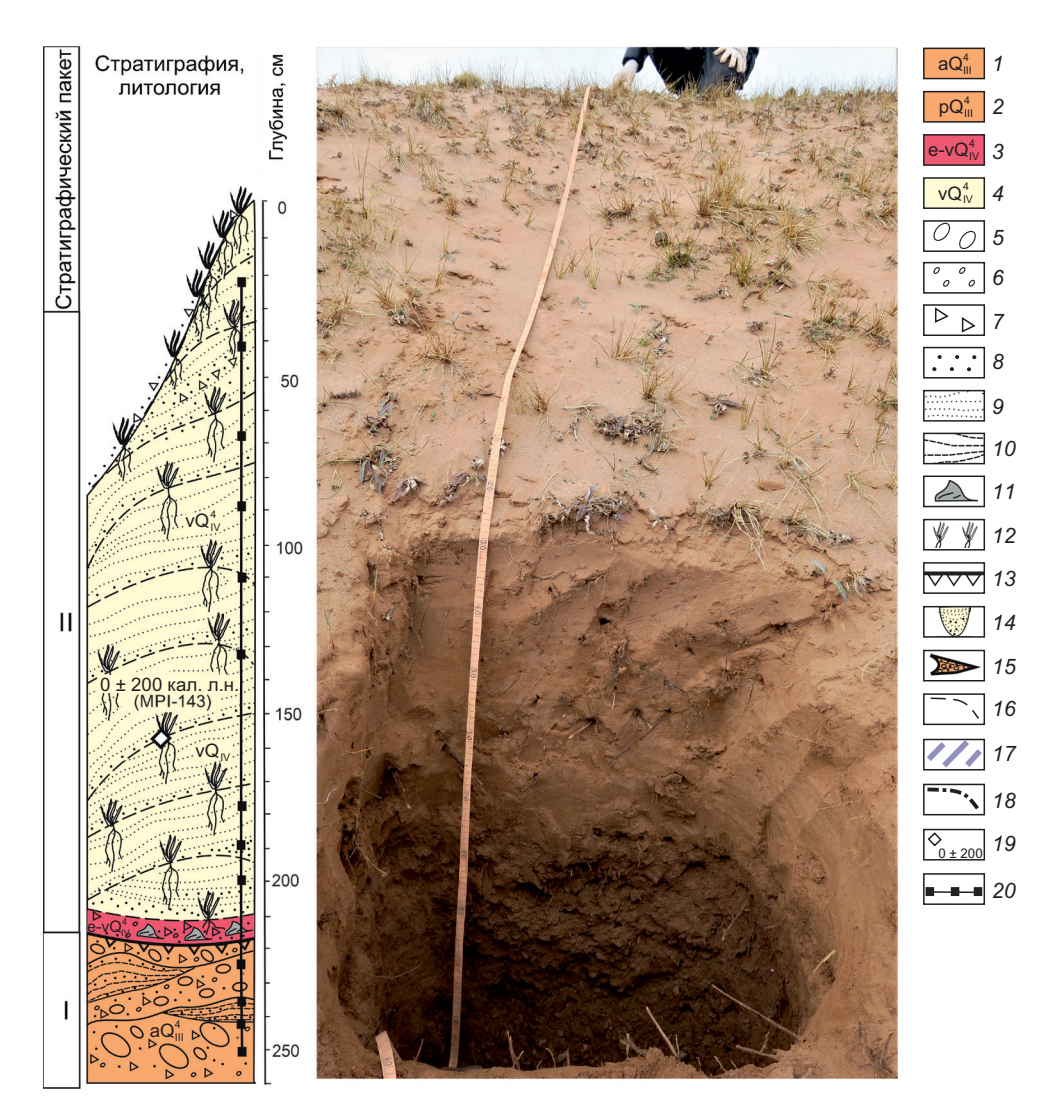


Рис. 2. Разрез полигональной дюны на поверхности 10—12-метровой террасы р. Бей-Лу-Хе (Тибетское нагорье).

Расчистка Р. 432. Генезис и возраст отложений: I — русловой аллювий (МИС 2); 2 — криогенные (полигональные) псевдоморфозы (МИС 2-1); 3 — элювиально-эоловые («пустынная мостовая» с ветрогранниками и цементирующими карбонатными корками) (МИС 2-1); 4 — эоловые полигональные U-образные жилы и дюны (МИС 1); литология: 5 — галька и валуны; 6 — гравий; 7 — щебень и дресва; 8 — песок; 9 — супесь; 10 — суглинок; 11 — ветрогранники; 12 — погребенные травянистые кочки; прочие: 13 — стратиграфическое несогласие; 14 — U-образные песчаные жилы; 15 — гравийно-галечно-песчаные псевдоморфозы; 16 — литологические границы; 17 — многолетнемерзлые породы; 18 — кровля ММП, предполагаемая по данным георадиолокации и опубликованным данным; 19 — радиоуглеродная датировка; 20 — точка отбора проб на гранулометрический и минералогический анализы.

поверхностью (см. доп. материалы, fig 9, e); уплощенные «лежаки» с ямчатой поверхностью (см. доп. материалы, fig 9, e). Первые два типа встречаются единично и состоят из плотных мелкокристаллических окварцованных пород дальнего разноса. Ветрогранники третьего типа наиболее распространены и образованы мягкими сланцеватыми породами.

Расчистка Р. 432 (рис. 2) выполнена в пределах гребня хорошо развитой полигональной дюны высотой около 2.5 м. Вскрыт следующий разрез (снизу вверх).

Пакет I (0—45 см) сложен плотными плохо сортированными галечно-щебнистыми отложениями красновато-коричневого цвета с песчано-суглинистым заполнителем. Галька и щебень представлены преимущественно выветрелыми песчаниками, алевролитами и небольшим количеством кварцитов. Размеры наиболее крупных обломков достигают 10 см, окатанность средняя и плохая, большинство галек несут признаки морозного дробления и химического выветривания, покрыты карбонатно-охристыми пленками, корками и натеками толщиной 2—4 мм, бурновскипающими при обработке 5%-м раствором соляной кислоты.

Гранулометрический состав песчаного заполнителя (4 пробы) следующий. Средний размер зерен $(x, \text{ мкм})\ 2131 \pm 539$, коэффициент сортировки $(\sigma)\ 5.3 \pm 1.1$, асимметрия $(\alpha)\ -0.42 \pm 0.43$ и эксцесс $(\tau)\ 0.59 \pm 0.18$ свидетельствуют о плохой сортировке и пологом асимметричном распределении с «хвостами» мелких фракций (см. доп. материалы, table 1, fig. 10).

В минералогическом составе фракции мелкого песка (100—50 мкм) доминируют зерна карбонатов (61 %), кварца (30 %), полевых шпатов (3.5 %) и гидроксидов железа (4.7 %). К акцессориям можно отнести биотит, лимонит и микроугольки. Большинство зерен кварца хорошо окатаны и покрыты толстыми корками карбонатов. Водная вытяжка из супесчаной фракции характеризуется низкой минерализацией (54 мг/л), нейтральным значением рН = 6.83 и гидрокарбонатно-кальциевым составом.

Слоистость отложений неясная, местами наблюдаются линзы песка в суглинистом заполнителе. Степень цементации пакета существенно увеличивается к его кровле. Кровля пакета резкая, четкая, пологоволнистая, сложена преимущественно красноватым уплощенным щебнем, некоторые обломки имеют ветровую огранку.

Пакет II (45—250 см) образован переслаиванием песков светло-палевого цвета с тонкими прослойками (1—2 мм) серой пылеватой супеси мелкого растительного детрита и корешками травянистой растительности. Отложения рыхлые, пористые, слоистость неявная, облегающая. В направлении к кровле наклон слоев увеличивается, появляются единичные обломки мелкого щебня. Кровля отложений является одновременно поверхностью дюны, частично закрепленной куртинами травянистой растительности.

Средний размер зерен (x, мкм) 200 ± 11 , коэффициент сортировки (σ) 1.62 ± 1.05 , асимметрия (α) 0.19 ± 0.03 , эксцесс (τ) 0.91 ± 0.08 , что свидетельствует о хорошей сортировке и симметричном нормальном распределении частиц. Гранулометрические характеристики хорошо выдержаны и практически не меняются от подошвы к кровле пакета (см. доп. материалы, fig. 10).

В минералогическом составе фракции мелкого песка (100—50 мкм) доминируют зерна кварца (44.8 %), растворимых карбонатов (44.1 %), примесь представлена полевыми шпатами (7.2 %) и гидроксидами железа (2.9 %). Большинство зерен кварца хорошо окатаны и покрыты корками карбонатов. Количество полевых шпатов несколько возрастает от подошвы к кровле пакета от 3 до 10 %. Акцессории представлены микроугольками, хлоритом, лимонитом и биотитом. Водная вытяжка из отложений характеризуется низкой минерализацией (31—33 мг/л), нейтральным значением рН = 6.4 и гидрокарбонатно-кальциевым составом.

Расчистка Р. 437 (рис. 3) глубиной 1 м заложена на поверхности 10—12-метровой террасы р. Бей-Лу-Хе в пологом эллипсовидном понижении в 300 м от расчистки 432 (см. рис. 1). Полигональные дюны отсутствуют, но скрытая полигональная решетка здесь хорошо заметна на аэрофотоснимках. Здесь вскрыт следующий разрез (сверху вниз).

Пакет I (0—100 и более см) сложен плотными плохо сортированными галечно-щебнистыми отложениями красновато-коричневого цвета с песчано-суглинистым заполнителем. По составу отложения идентичны аллювию пакета I в предыдущей расчистке 432. Средний размер зерен песчаного заполнителя (x, мкм) 1180 \pm 539, коэффициент сортировки (σ) 5.6 \pm 0.56, асимметрия (α) 0.23 \pm 0.48 и эксцесс (τ) 0.53 \pm 0.07 свидетельствуют о плохой сортировке и пологом симметричном распределении с «хвостами» крупных фракций.

Минералогический анализ, выполненный для фракции мелкого песка (3 пробы), указывает на преобладание вторичных растворимых карбонатов (48 %), кварца (39 %), подчиненном количестве полевых шпатов (10 %) и гидроксидов железа (3 %). Из акцессорных минералов присутствует биотит и лимонит. Большинство зерен хорошо окатаны и покрыты толстыми корками карбонатов.

Слоистость субгоризонтальная, местами волнистая. Кровля экспонируется на дневной поверхности, покрыта слоем щебня с ветрогранниками, единичными куртинами травянистой растительности и разбита вертикальными песчаными жилами, организованными в полигональную решетку с диаметром элементарных ячеек 15—20 м.

Пакет II (0—80 см) образован жилой U-образной формы шириной около 120 см и глубиной 80 см. Она сложена нечетким переслаиванием мелкого песка палевого цвета с прослоями мелкого щебня. Отложения рыхлые, пористые, пронизаны живыми и отмершими корешками травянистых злаков. В отличие от пакета I, они не уплотнены и не сцементированы.

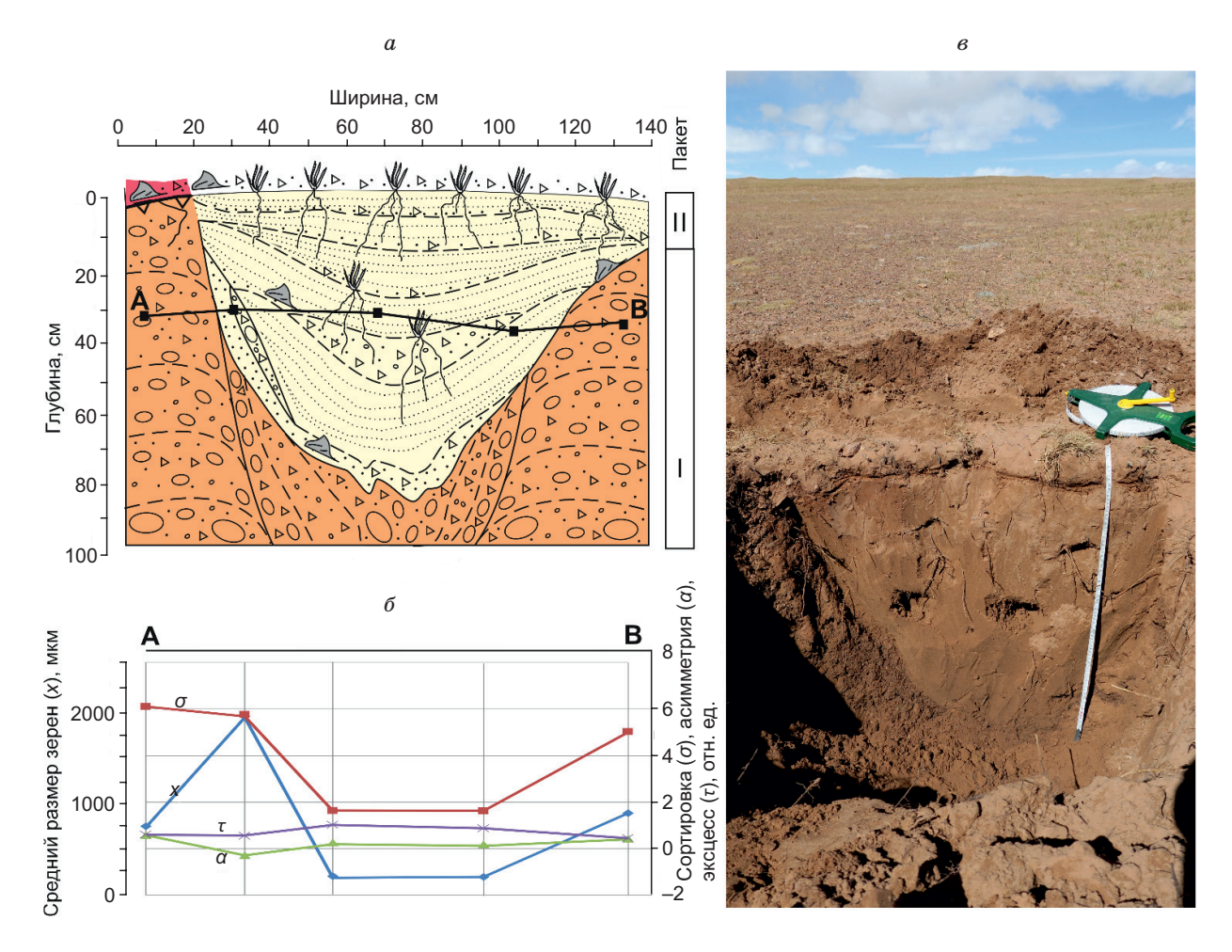


Рис. 3. Разрез U-образной песчаной жилы (a) в отложениях 10—12-метровой аллювиальной террасы р. Бей-Лу-Хе (Тибетское нагорье) и вариация гранулометрического состава поперек жилы (δ), расчистка P. 437 (a).

Усл. обозн. см. на рис. 2.

Слоистость неявная, в нижней части вогнутая, облегающая подошву, в направлении к кровле выполаживается до субгоризонтальной. Слойчатость тонкая субпараллельная. Кровля жилы присыпана сверху мелким щебнем и покрыта куртинами травянистых злаков.

Боковые контакты жилы с вмещающими отложениями резкие, секущие. Вблизи них наблюдаются крутонаклонные прослои гравия и ориентированной гальки. Подошва жилы подстилается гравийно-щебнисто-галечными отложениями, структура которых, по-видимому, нарушена в результате вытаивания полигонально-жильных льдов и просадок грунта.

Современные активно формирующиеся незакрепленные дюны изучены на участке Р. 400 (35.0466° с.ш., 93.0115° в.д.) постоянного геокриологического мониторинга Транс-Тибетской железной дороги в 26 км к северу от высокогорной станции Бей-Лу-Хе (см. доп. материалы, fig. 11). Здесь в пределах дефляционно-аккумулятивной равнины с абсолютными высотами 4640—4700 м формируются цепочки незакрепленных барханов и теневых дюн (shadow dunes) юго-восточной ориентировки.

Гранулометрический состав эоловых песков следующий. Средний размер зерен (x, мкм) 229 ± 58, коэффициент сортировки (σ) 1.55 ± 0.1, асимметрия (α) –0.09 ± 0.17, эксцесс (τ) 0.92 ± 0.32 свидетельствуют о хорошей сортировке и симметричном нормальном распределении зерен (см. доп. материалы, table 1).

В минералогическом составе дюнных песков доминируют кварц (45—64 %) и карбонаты (35—52 %) (см. доп. материалы, table 2). Последние представлены преимущественно вторичным кальцитом. Характерной особенностью является увеличение содержания кварца в крупных фракциях (0.25—0.50 мм), а карбонатов — в мелких. Содержание полевых шпатов крайне невелико, максимальное их

количество (3.4 %) установлено в мелкой фракции (0.05—0.10 мм). Большинство зерен кварца хорошо окатаны и покрыты толстой коркой карбонатной глазури.

В целом современные эоловые (дюнные) пески проявляют значительное сходство гранулометрического и минералогического состава с песками полигональных дюн и песчаной жилы, охарактеризованных в расчистках Р. 432 и Р.437, что указывает на эоловое происхождение последних.

Под бинокулярным микроскопом (см. доп. материалы, fig. 12) установлено, что во всех исследованных пробах преобладают (80—90 %) зерна средней и хорошей окатанности. До 10—15 % частиц имеют наивысшую (совершенную) окатанность и представлены эллипсоидами вращения, в том числе практически идеальными шарами. Неокатанные и плохо окатанные зерна с острыми ребрами и вершинами присутствуют единично.

Большая часть зерен (95 %) прозрачные или слабо окрашены в желтоватые и охристые оттенки. Более окатанные зерна наиболее интенсивно окрашены. Плохо окатанные зерна, как правило, более прозрачны. Поверхность большинства зерен гладкая, отполированная, блестящая.

Изучение микроморфологии зерен современных дюнных песков участка Р. 400 с использованием сканирующего микроскопа показал следующее. Преобладающее число частиц (>80 %) имеет изометричную форму и среднюю окатанность (см. доп. материалы, fig. 13). Поверхности частиц преимущественно неровные, рельеф невысокий, часто встречаются пологие ямки и выпуклости, извилистые борозды. Поверхности зерен с характерными V-образными (клиновидными) ямками соударений, каверны химического травления встречаются единично. Некоторая часть зерен представлена агломератами более мелких зерен, покрытых толстыми корками.

Необходимо отметить, что результаты изучения эоловых песков, полученные с использованием оптического и сканирующего микроскопов, существенно различаются. При использовании сканирующего микроскопа более низкая степень окатанности и заматованность зерен обусловлены разрушением карбонатной глазури при обработке образцов соляной кислотой. Так, под бинокуляром наблюдается

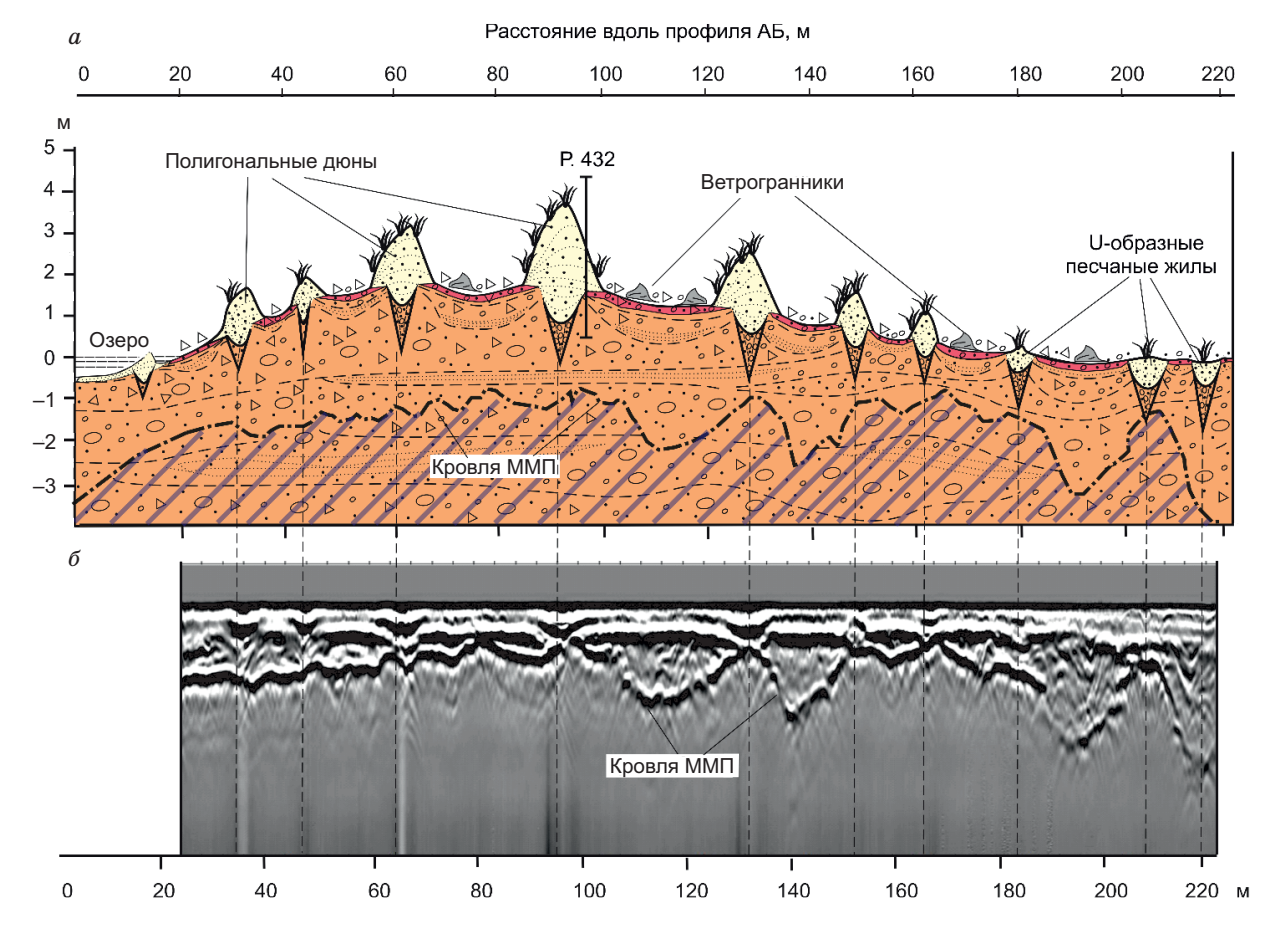


Рис. 4. Геокриологический разрез (a) и радарограмма (б) полигональных эолово-криогенных образований 10—12-метровой аллювиальной террасы р. Бей-Лу-Хе (Тибетское нагорье) по профилю АБ.

Положение профиля приведено на рис. 1, усл. обозн. см. на рис. 2.

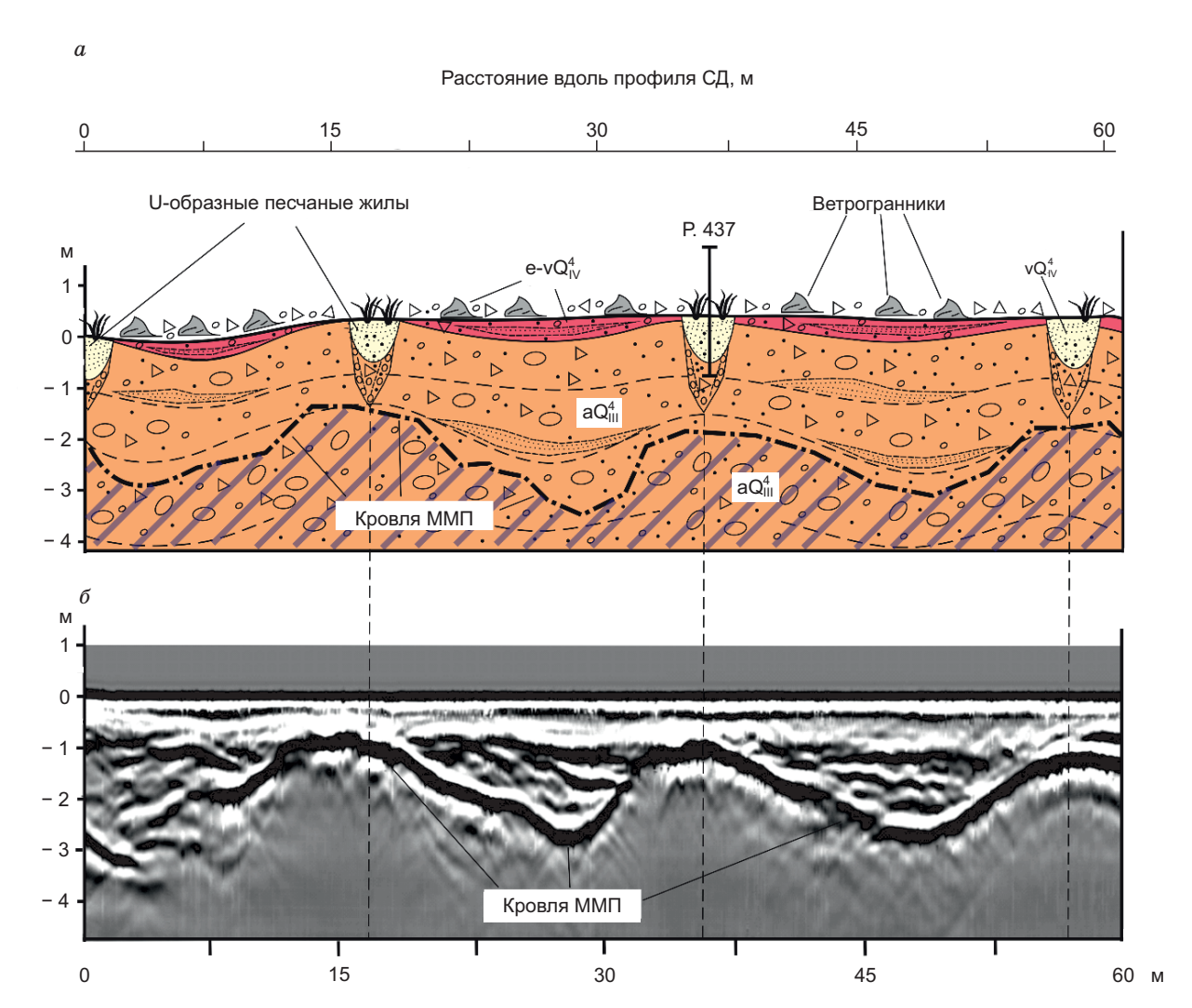


Рис. 5. Геокриологический разрез (a) и радарограмма (δ) полигональных криогенно-эоловых образований 10—12-метровой аллювиальной террасы р. Бей-Лу-Хе (Тибетское нагорье) по профилю СД.

Положение профиля приведено на рис. 1, усл. обозн. см. на рис. 2.

множество зерен с блестящей глянцевой поверхностью и совершенной окатанностью, в то время как под сканирующим микроскопом зерна из этих же проб имеют шероховатую матовую поверхность и среднюю окатанность.

Анализ глубины залегания и морфологии кровли ММП выполнен методом георадиолокации по двум профилям АБ и СД (см. рис. 1). Профиль АБ длиной 198 м (рис. 4, δ) заложен вкрест долины р. Бей-Лу-Хе от безымянного старичного озера. Профиль пересекает участок с наиболее ярко выраженным полигональным микрорельефом, где остроконечные бровки (гребни) «полигональных» дюн достигают высоты 1.5—2.0 м (расчистка Р. 432). Профиль СД длиной 60 м (рис. 5, δ) приурочен к пологоволнистой галечно-щебнистой поверхности, где распространены скрытополигональные структуры, образованные с U-образными песчаными жилами. Эти жилы вскрыты и прослежены в нескольких шурфах и детально охарактеризованы в расчистке Р. 437.

На основе данных георадиолокации, шурфов и с учетом данных о мощности сезонно-талого слоя (СТС) в окрестностях станции Бей-Лу-Хе [Jin et al., 2007] были построены геологические разрезы по профилям АБ и СД (см. рис. 4, *a*; 5, *a*). Установлено, что на всей исследованной площади 10—12-метровой террасы р. Бей-Лу-Хе слагающий ее галечно-щебнисто-песчаный аллювий расчленен единой полигональной решеткой с размерами элементарных ячеек 15—20 м. Элементы данной решетки отчетливо проявляются в структуре радарограмм.

В пределах исследованного участка террасы кровля ММП залегает на глубине от 2 до 4 м и имеет весьма неровную волнистую форму. На радарограммах она отчетливо фиксируется зоной поглощения

радиоволн, очевидно, в результате более высокой увлажненности. Морфология кровли ММП подчиняется общей полигональной структуре отложений. Так, под дюнами и песчаными жилами (на границах полигональных ячеек) она залегает наиболее высоко на глубине около 2 м от дневной поверхности. В междюнных понижениях (внутри ячеек) кровля ММП опускается на 1.5—2.0 м ниже и залегает на глубине до 4 м от поверхности. Данная закономерность особенно явно прослеживается на участке распространения песчаных жил. Результаты интерпретации глубины залегания кровли ММП на исследованном участке полностью подтверждаются данными бурения предшественников [Cheng, Wang, 1983; Jin et al., 2007].

Волнистый характер кровли ММП, вероятно, связан с разной теплопроводностью отложений, а также неравномерным распределением снежного покрова в зимнее время внутри и на границах полигональных ячеек. Кроме того, слагающие днища полигонов отложения «пустынной мостовой» являются водоупором, что в периоды дождей и снеготаяния приводит к систематическому обводнению, появлению мелких луж. При переполнении последних поверхностные воды стекают в полигональные трещины, инфильтруются через песчаные жилы вниз к мерзлотному водоупору, где замерзают в виде шлирового и текстурного льда. Это, в свою очередь, приводит к повышению кровли ММП под жилами.

дискуссия

Приведенные выше результаты показывают, что полигональный микрорельеф поверхности 10—12-метровой террасы в окрестностях станции Бей-Лу-Хе и других районов Тибетского нагорья образован песчаными эоловыми дюнами высотой от 0.5 до 2.5—3.0 м и вторичными песчаными жилами U-образной формы. В плане эти дюны организованы в четкую полигональную сеть и именованы авторами полигональными дюнами. Данный термин гармонично вписывается в наиболее широко используемую в литературе классификацию эолового рельефа Б.А. Федорович [1983], построенную исключительно на морфологических признаках. Исследованные полигональные песчаные дюны и жилы развиваются по границам древней решетки морозобойных трещин. Поэтому в генетическом отношении они имеют комплексное (криогенно-эоловое) происхождение.

Полигонально-жильные образования Тибетского плато. Известно, что первичные (сингенетические) ПЖЛ в пределах криолитозоны Тибета крайне редки и характеризуются небольшими размерами [Cheng et al., 2005; Jin et al., 2007]. Имеется упоминание об одной неактивной полигональной ледяной жиле, обнаруженной в озерных отложениях в пределах южного склона хр. Куньлунь на высоте 4850 м [Li, He, 1990]. Ее толщина составляет 0.7 м, глубина проникновения (вертикальная мощность) 1.5 м, возраст жилы определен интервалом 15—21 кал. тыс. л. н. [Li, He, 1990].

Вместо ПЖЛ в регионе встречаются первичные песчаные жилы (ППЖ), а также множество вторичных грунтовых жил и псевдоморфозы по ПЖЛ [Liang, Cheng, 1984; Xu et al., 1984; Bian, Guo, 1990; Wang et al., 2003; Cheng et al., 2005; Jin et al., 2007]. Первичные ППЖ имеют принципиально иное строение и возраст в сравнении с вторичными ППЖ. Для первых характерна более узкая и вытянутая форма в виде тонкого клина [Owen et al., 1998; Cheng et al., 2005; Jin et al., 2007]. Заполняющий жилы тонкодисперсный материал имеет вертикальную слоистость, образованную тонкими элементарными (годичными) слойками. Во вмещающих отложениях нередко наблюдаются приконтактовые деформации.

Массовое образование первичных ППЖ и ПЖЛ происходило в регионе во время последнего криохрона МИС 2, причем пики формирования приходятся на последний термический минимум (18—20 тыс. л. н.) и похолодание позднего дриаса (12.7—11.1 тыс. л. н.) [Liang, Cheng, 1984; Wang, French, 1991; Owen et al., 1998; Wang et al., 2003; Cheng et al., 2005; Jin et al., 2007]. При формировании первичных ППЖ и ПЖЛ среднегодовая температура в регионе была ниже современной на 6—7 °С. Преимущественное формирование первичных ППЖ обусловлено низкой влажностью СТС, а также отсутствием растительного и снежного покрова, в результате чего на значительных участках нагорья на протяжении зимнего периода сохранялась высокая активность эоловых процессов. В таких условиях раскрывающиеся мерзлотные трещины заполнялись преимущественно песчаным материалом еще до начала теплого периода. По мнению некоторых исследователей, условия криоморфогенеза, благоприятные для формирования первичных ППЖ, сохраняются в некоторых районах Тибета до настоящего времени [Jin et al., 2007].

Формирование вторичных ППЖ и псевдоморфоз по ПЖЛ связано с процессами потепления и деградации криолитозоны Тибетского нагорья на протяжении бореального оптимума голоцена [Cheng et al., 2005; Jin et al., 2007]. В 100—150 км к северу от исследуемого района в аллювиальных отложениях низких террас р. Хуанхэ Дж. Ченг с соавторами [Cheng et al., 2005, 2006] установили вторичные ПЖП возрастом 5.0—5.5 тыс. л. Преобладание ширины (1.0—1.5 м) над вертикальной протяженностью (0.9—1.0 м) придает жилам специфическую U-образную форму. Заполняющие супесчаные отложения повторяют форму подошвы жилы, характеризуются вложенной облегающей слоистостью и тонкой параллельной слойчатостью, нередко включают вкрапления гумуса и органического детрита [Cheng et al.,

2005; Jin et al., 2007]. Рассмотренные в настоящей статье U-образные ППЖ полностью соответствуют данной текстурной характеристике.

Гранулометрический состав эоловых песков. Об эоловом происхождении полигональных дюн свидетельствует облегающая слоистость слагающих песков, прослойки травянистых дернинок, сходство гранулометрического и минералогического составов с современными эоловыми песками нагорья и другие признаки [Liu et al., 2013; Qiang et al., 2016; Hu et al., 2017].

Так авторы работ [Jin, 1994; Yang et al., 2004] указывают, что фации активных современных песчаных дюн Цинхай-Тибетского плато характеризуются преобладанием (65—75 %) частиц со средним размером 0.5—0.125 мм. Доля фракции мелкого песка составляет не более 20—25 %, а содержание пылеватой фракции не превышает 2—3 %. В полузакрепленных песчано-лессовых покровах доля пылеватой фракции (<0.63 мм) возрастает до 20—30 %, но в модальном классе все равно доминируют (40—50 %) песчаные фракции.

По данным Дж. Ху с соавторами [Hu et al., 2017], закрепленные эоловые покровы первой террасы р. Янцзы в 100 км к северо-востоку от станции Бей-Лу-Хе сложены хорошо сортированными кварц-кальцитовыми песками со средними размерами зерен от 174 до 200 мкм.

Особенности микроморфологии частиц эоловых песков. Принято считать, что степень окатанности и характер поверхности зерен имеют принципиальное значение для понимания генезиса отложений [Krinsley, Doornkamp, 1973; Руе, Tsoar, 2009]. Многие современные исследователи используют распространенную классификацию Е. Мичельска-Довгалло и Б. Воронко [Kut et al., 2021], согласно которой ключевыми индикаторами эолового генезиса являются хорошая окатанность и матовая поверхность зерен, а также незначительное количество V-образных сколов. Наоборот, в отложениях водного ряда доминируют глянцевые зерна разной степени окатанности. Кроме того, поверхность частиц испещрена V-образными микрократерами — следами соударений в высокодинамичном потоке [Kut et al., 2021]. Генезис неокатанных и плохо окатанных зерен, как правило, связывают с физическим выветриванием и ледниковым истиранием.

Результаты исследования эоловых отложений разных районов Тибетского плато, пустыни Бадын-Джаран (Внутренняя Монголия), нижнего течения р. Хуанхэ и других регионов существенно расходятся с приведенными выше утверждениями [Dong et al., 2017; Cheng et al., 2018; Li et al., 2020]. Так, современные покровные эоловые пески Тибетского нагорья характеризуются преобладанием плохо окатанных зерен угловатой формы (см. доп. материалы, fig. 7) со слабозакругленными ребрами [Dong et al., 2017]. Большинство зерен прозрачны, имеют блестящую поверхность и свежие изломы, свидетельствующие о недавнем происхождении частиц и относительно непродолжительной их транспортировке. Коррозионные ямки, V-образные сколы и трещины растворения встречаются относительно редко. Кроме того, в эоловых песках Тибета присутствуют многочисленные признаки ледниковой и флювиальной обработки [Dong et al., 2017], в том числе раковистые ступенчатые изломы, бороздки и углубления, а также глубокие круглые экструзивные ямки, серповидные сколы и др.

Сходные признаки установлены для песков из крупнейших в мире эоловых дюн пустыни Бадан-Джаран (юг пустыни Гоби), расположенной в северных предгорьях Тибета. Они характеризуются преобладанием изометричных зерен плохо окатанных зерен со слегка округленными ребрами и весьма высоким рельефом. Среди микроструктурных признаков наиболее распространены серповидные ступенчатые сколы, перевернутые пластинки (upturned plates), V-образные микрократеры встречаются редко [Li et al., 2020].

Напротив, в современных (аллювиальных) отложениях р. Хуанхэ доминируют изометричные и полуугловатые плохо- и среднеокатанные зерна с высоким рельефом, множеством механических сколов разных размеров, а также V-образных микроструктур [Cheng et al., 2018]. Что свидетельствует об их значительной эоловой обработке.

Минералогический состав эоловых песков. К сожалению, сведения о минералогическом составе эоловых образований Цинхай-Тибетского нагорья очень ограниченны. Б. Лиу с соавторами [Liu et al., 2013] указывают, что в окрестностях оз. Цинхай на высоте 3.500 м в вертикальном разрезе закрепленных эоловых песков голоценового возраста мощностью 3.5 м содержание карбонатов кальция варьирует от 2.6 до 4.3 %. Н. Ванг с соавторами [Wang et al., 2003] указывают, что в северной части Цинхай-Тибетского нагорья в первичных ППЖ последнего термического минимума (18—22 кал. л. н.) содержание кальцита достигает 16.4 %.

Минералогический состав изученных в настоящей работе полигональных дюн и U-образных песчаных жил характеризуется необычайно высоким содержанием кальцита (35—50 %). Причем еще более высокие концентрации последнего (до 60 %) установлены в составе песчаного заполнителя из подстилающих галечно-щебнистых отложений нижележащего аллювия.

Происхождение полигональных дюн, как и вторичных U-образных песчаных жил, очевидно, связано с процессами деградации древних ПЖЛ. Авторы предполагают следующий механизм. Деграда-

ция первичных ПЖЛ позднеплейстоценового возраста привела к просадкам поверхности над ними. В результате этого по границам полигонов сформировались ложбины. Более увлажненная поверхность полигональных мочажин заполнялась эоловым песком и частично закреплялась травянистой растительностью, которая, в свою очередь, усиливала эоловую аккумуляцию. Наоборот, внутри полигональных ячеек плотносцементированные отложения «пустынной мостовой» являются неблагоприятным субстратом для растительности и подвергаются непрерывной дефляции, о чем свидетельствует вторичный щебень и ветрогранники на их поверхности.

В дальнейшем неравномерное закрепление травянистой растительностью поверхности террасы привело к избирательному накоплению эолового материала и росту дюн над границами полигонов. Вообще растительный покров является мощным аккумулятором эоловых частиц [Luo et al., 2016; Dong et al., 2017]. Широко известны такие аккумулятивные эолово-биогенные образования, как песчаные бугры и гривы, в которых куртины травянистой и кустарниковой растительности играют роль армирующего каркаса [Руе, Tsoar, 2009].

Таким образом, собственно полигональный микрорельеф, широко распространенный на высокогорных равнинах Тибета, является результатом деградации древних ПЖЛ и преобразования (эволюции) ископаемой морозобойной полигональной трещинной решетки в условиях голоценового и современного опустынивания территории. Большинство специалистов сходятся во мнении, что голоценовое и современное опустынивание и активизация эоловых процессов в Тибете напрямую связаны с деградацией ММП, увеличением мощности СТС и понижением зеркала надмерзлотных вод [Jin, 1994; Liu et al., 2013; Dong et al., 2017; Hu et al., 2017]. Эоловые отложения представлены разными формами и фациями — цепочки незакрепленных барханов и теневых дюн мощностью до 10—15 м, частично закрепленные травянистой растительностью песчано-лессовые покровы мощностью 3—10 м и др. В целом только в пределах высокогорной равнины в истоках р. Янцзы площадь песчаных и песчано-лессовых эоловых покровов составляет 4.5 тыс. км² [Dong et al., 2012, 2017].

Признаки существования холодных позднечетвертичных пустынь в Сибири. Тесное сочетание криогенных и эоловых фаций характерно не только для высокогорной криолитозоны Тибетского нагорья. Подобные ассоциации встречаются в позднечетвертичных отложениях Западной и Восточной Сибири, но остаются слабоизученными. Так, на юге Западной Сибири в осадках замкнутой котловины оз. Аскор в 27 м ниже современного уреза р. Иртыш в основании озерно-субаэральной супесчаной толщи мощностью 12.9 м залегают плиоценовые галечники, кровля которых плотно сцементирована карбонатными корками и содержит большое количество ветрогранников, галек с ячеистой поверхностью и пустынным загаром в ассоциации с песчаными клиньями и псевдоморфозами [Зыкин и др., 2003; Деревянко и др., 2008]. Эти авторы считают, что дефляционная котловина и пустынная мостовая сформировались на протяжении ермаковской ледниковой эпохи (МИС 2), во время которой на юге Западной Сибири доминировали ландшафты холодных пустынь.

В Восточной Сибири к фации «пустынной мостовой» относятся протяженные прослои ветрогранников средне- и позднечетвертичного возраста в бассейне р. Лена и ее притоков (Линда, Вилюй, Тумара, Ундулюнг и др.) [Колпаков, 1983; Галанин, 2021]. Наиболее древние прослои ветрогранников соотносятся с холодной перигляциальной пустыней самаровского оледенения (МИС 6), наиболее молодые прослои формировались на протяжении МИС 2 [Колпаков, 1983]. На некоторых пологих водораздельных участках Лено-Вилюйского водораздела сохранились фрагменты каменистых дефляционных равнин, кровля которых выполнена фациями «пустынной мостовой» с множеством ветрогранников идеальной аэродинамической формы. Последние залегают непосредственно вблизи дневной поверхности внутри современного почвенного покрова, что свидетельствует о существовании здесь каменистых пустынь на протяжении позднеплейстоценового оледенения вплоть до конца МИС 2. В некоторых разрезах прослои ветрогранников сцементированы карбонатным или карбонатно-глинистым цементом и покрыты кальцитовыми корками.

Ярким доказательством существования холодных каменистых пустынь в холодных регионах Восточной Сибири является разрез широко известной нижнепалеолитической стоянки Диринг-Юрях, приуроченной к отложениям 125-метровой террасы р. Лена. Здесь горизонт с множеством ветрогранников и артефактов подстилается эоловыми песками среднего плейстоцена, разбитыми мощной полигональной решеткой из песчаных жил шириной до 2 м и глубиной до 4—5 м [Waters et al., 1999; Галанин и др., 2021]. Вверх по разрезу слой ветрогранников перекрыт субаэральной пачкой лессов и песчаных дюн среднего и позднего неоплейстоцена [Галанин и др., 2021].

Развитие представлений об условиях формирования четвертичных отложений, рельефа и криолитозоны Сибири длительное время было обусловлено доминированием «аквальных и субаквальных гипотез», в рамках которых определяющая роль в формировании рельефа и отложений отдавалась процессам нивально-гляциального, криогенного и флювиального генетических рядов [Галанин, 2021]. В их рамках трудно объяснить происхождение первичных ППЖ, известных во многих районах Западной и

Восточной Сибири, а также разнообразных типов дюн и песчаных покровов, регионально выдержанных прослоев ветрогранников, отложений «пустынной мостовой». Кроме того, существуют объяснения генезиса некоторых типов эолового микрорельефа (например, ячеисто-грядового (honeycomb dunes), лункового (kettle dunes)) в пределах ареалов криолитозоны позднего плейстоцена [Волков, 1971; Федорович, 1983; Jäkel, 2004]. По мнению авторов настоящей статьи, механизм формирования данных образований, как и в Тибетском нагорье, может быть связан с вытаиванием более древних ПЖЛ и развитием эоловых дюн, наложенных на полигональную морозобойную решетку.

В целом роль криогенных процессов в формировании эоловых отложений в холодных регионах и криолитозоне остается еще недостаточно изученной. Наблюдаемые в пределах современной криолитозоны Тибета специфические типы микрорельефа и фациально контрастные отложения могут быть ключом для реконструкции условий рельефообразования и осадконакопления в пределах позднечетвертичной криолитозоны Северной Евразии.

выводы

Широко распространенный в пределах современной криолитозоны Тибетского плато полигональный микрорельеф в геометрическом отношении является обратным (инверсионным) микрорельефу с байджарахами на термоденудационных лессово-ледовых равнинах Северной Азии и Америки. Этот рельеф принципиально отличается по структуре и происхождению.

Микрорельеф сложен эоловыми дюнами и вторичными (эпигенетическими) песчаными жилами позднеголоценового возраста, развивающимися вдоль границ древней полигональной морозобойной решетки в результате вытаивания ПЖЛ.

Дюны сложены кварц-карбонатным песком средней и хорошей окатанности, имеют резкие гребни высотой до 2—4 м. Междюнные понижения приурочены к центрам полигонов и сложены щебнистогалечными отложениями «пустынной мостовой» с ветрогранниками.

Таким неожиданным образом древние криогенные процессы могут повлиять на морфологию и пространственную ориентацию эпикриогенных эоловых дюн. Поскольку данный тип дюн занимает общирные пространства в Тибетском нагорье и может встречаться в других регионах, он должен учитываться при разработке классификаций эоловых образований, а также легенд геологических и геокриологических карт. Наличие полигональных дюн может использоваться в качестве признака для реконструкции палеоклиматов и границ древней криолитозоны.

Исследование выполнено за счет гранта Российского научного фонда № 21-17-00054, https://rscf. ru/project/21-17-00054/.

ЛИТЕРАТУРА

Волков И.А. Позднечетвертичная субаэральная формация. М., Наука, 1971, 274 с., https://www.geokniga.org/bookfiles/geokniga-pozdnechetvertichnaya-subaeralnaya-formaciya.pdf.

Галанин А.А. Позднечетвертичные песчаные покровы Центральной Якутии (Восточная Сибирь): строение, фациальный состав и палеоэкологическое значение // Криосфера Земли, 2021, т. XXV, № 1, с. 3—34, doi: 10.15372/KZ20210101.

Галанин А.А., Курбанов Р.Н., Лыткин В.М., Васильева А.Н., Шапошников Г.И. Новые данные о строении и возрасте нижнепалеолитической стоянки Диринг (Центральная Якутия) // Геология и минерально-сырьевые ресурсы Северо-Востока России. Материалы XI Всероссийской научно-практической конференции. Якутск, СВФУ, 2021, с. 23—26, doi: 10.52994/9785751331399_2021_4.

Деревянко А.П., Кузьмин М.И., Ваганов Е.А. Глобальные и региональные изменения климата и природной среды позднего кайнозоя в Сибири. Новосибирск, Изд-во СО РАН, 2008, 511 с., https://www.iprbookshop.ru/15792.html.

Зыкин В.С., Зыкина В.С., Орлова Л.А. Реконструкция изменений природной среды и климата позднего плейстоцена на юге Западной Сибири по отложениям котловины озера Аксор // Археология, этнография и антропология Евразии, 2003, № 4, с. 2—16, http://old.archaeology.nsc.ru/ru/publish/journal/doc/2003/164/2003 164 002-016.pdf.

Колпаков В.В. Эоловые четвертичные отложения Приленской Якутии // Бюл. Комиссии по изучению четвертичного периода. М., Наука, 1983, № 52, с. 123—131.

Федорович Б.А. Динамика и закономерности рельефообразования пустынь. М., Наука, 1983, 236 с., https://www.geokniga.org/bookfiles/geokniga-dinamika-i-zakonomernosti-relefoobrazovaniya-pustyn.pdf.

Хабаков А.В. Об индексах окатанности галечников // Советская геология, 1946, вып. 10, с. 12—24. **Шванов В.Н.** Песчаные породы и методы их изучения. Л., Недра, 1969, 247 с.

Bian C., Guo P. Geomorphic characteristics of periglacier in the source area of Yellow River in Qinghai-Xizang Plateau, China // J. Glaciol. Geocryol., 1990, v. 12 (2), p. 147—153 (in Chinese).

- **Blott S.J., Pye K.** Gradistat: a grain size distribution and statistics package for the analysis of unconsolidated sediments // Earth Surf. Processes Landforms, 2001, v. 26, p. 1237—1248.
- **Cheng G.D.** Mechanisms of repeated-segregation for the formation of thick layered ground ice // Cold Reg. Sci. Technol., 1983, v. 8 (1), p. 57—66.
- **Cheng G.D., Wang S.L.** Distribution features of high ice content permafrost along the Qinghai-Tibet Highway // Proceedings of the 4th International Conference on Permafrost (Fairbanks, AK). Washington, D.C., Natl. Acad. Press, 1983, p. 142—146.
- Cheng J., Zhang X., Tian M., Yu W., Yu J. Ice-wedge casts showing climatic change since the Late Pleistocene in the source area of the Yellow River, Northeast Tibet // J. Mountain Sci., 2005, v. 2 (3), p. 193—201, http://www.imde.ac.cn/journal.
- Cheng J., Zhang X.J., Tian M.Z., Yu W.Y., Yu J., Tang O., Yue J. Ice-wedge casts discovered in the source area of the Yellow River, northeast Tibetan Plateau and their paleoclimatic implications // Quat. Sci., 2006, v. 26 (1), p. 92—98 (in Chinese).
- Cheng Y., Liu C., Lu P., Zhang Y., Nie Q., Wen Y. Surface textural analysis of quartz grains from modern point bar deposits in lower reaches of the Yellow River // IOP Conf. Ser.: Earth Environ. Sci., 2018, v. 108, p. 032023, doi: 10.1088/1755-1315/108/3/032023.
- **Dong Z., Hu G., Yan C., Lu J., Wei Z.** Aeolian desertification in the source regions of the Yangtze River and Yellow River. Beijing, Sci. Press, 2012, 343 p. (in Chinese).
- **Dong Z., Hu G., Qian G., Lu J., Zhang Z., Luo W., Lyu P.** High-altitude aeolian research on the Tibetan Plateau // Rev. Geophys., 2017, v. 55, p. 864—901, doi.org/10.1002/2017RG000585.
 - Folk R.L. Petrology of sedimentary rocks. Austin, Tex., Hemphill Publ. Company, 1980, 350 p.
- Hu G., Yu L., Dong Z., Jin H., Luo D., Wang Y., Lai Z. Holocene aeolian activity in the Headwater Region of the Yellow River, Northeast Tibet Plateau, China: A first approach by using OSL-dating // Catena, 2017, v. 149, p. 150—157, doi.org/10.1016/j.catena.2016.09.014.
- **Jäkel D.** Initial stages of complex dune forms after rainfall and formation processes of honeycomb and kettle dunes in the Badain Jaran Desert (Shamo) in China // Z. Geomorphol. Suppl., 2004, v. 133, p. 107—128.
- **Jin H.J., Chang X.L., Wang S.L.** Evolution of permafrost on the Qinghai-Xizang (Tibet) Plateau since the end of the late Pleistocene // J. Geophys. Res.: Earth Surf., 2007, v. 112, p. F02S09, doi: 10.1029/2006JF000521.
- Jin H., Luo D., Wang S., Lv L., Wu J. Spatiotemporal variability of permafrost degradation on the Qinghai-Tibet Plateau // Sci. Cold Arid Reg., 2011, v. 3 (4), p. 281—305, doi: 10.3724/SP.J.1226.2011.00281.
- **Jin J.** The study of the windy sand in Tibet // Geogr. Res., 1994, v. 13 (1), p. 60—68 (in Chinese with English abstract).
- **Krinsley D.H., Doornkamp J.** Atlas of quartz sand surface textures. Cambridge, Cambridge Univ. Press, 1973, 91 p.
- Kut A.A., Woronko B., Spektor V.V., Klimova I.V. Grain-surface microtextures in deposits affected by periglacial conditions (Abalakh High-Accumulation Plain, Central Yakutia, Russia) // Micron, 2021, v. 146, p. 103067, doi.org/10.1016/j.micron.2021.103067.
- **Lehmkuhl F.** Geomorphologische Untersuchungen zum Klima des Holozäns und Jungpleistozäns Osttibets (Geomorphological investigations for the climate during the Holocene and late Pleistocene in eastern Tibet) // Goettinger Geogr. Abh., 1995, v. 102, p. 1—184.
- **Lehmkuhl F., Hovermann J.** Landscape and paleoclimatic evolution of the Tibetan Plateau // Geowissenschaften, 1996, v. 7—8, p. 268—271.
- Li S.D., He Y.X. Basic feature of permafrost in the western Kunlun Mountains // Proceedings of the 4th Chinese Conf. on Glaciology and Geocryology. Geocryology Vol. Beijing, Sci. Press, 1990, p. 1—8.
- Li S.J., Jiao K.Q. Glacial changes on the south slope of the western Kunlun Shan Mountains // J. Glaciol. Geocryol., 1990, v. 12 (4), p. 311—317 (in Chinese).
- Li Z., Yu X., Dong S., Chen Q., Zhang C. Microtextural features on quartz grains from eolian sands in a subaqueous sedimentary environment: A case study in the hinterland of the Badain Jaran Desert, Northwest China // Aeolian Res., 2020, v. 43, p. 100573, doi.org/10.1016/j.aeolia.2020.100573.
- **Liang F.X., Cheng G.D.** Polygonal wedges along the Qinghai-Tibet Highway and their paleoclimatic implications // J. Glaciol. Geocryol., 1984, v. 6 (4), p. 51—60.
- Liu B., Jin H., Sun L., Sun Z., Su Z., Zhang C. Holocene climatic change revealed by aeolian deposits from the Gonghe Basin, northeastern Qinghai—Tibetan Plateau // Quat. Int., 2013, v. 296, p. 231—240, doi. org/10.1016/j.quaint.2012.05.003.
- Lu R., Jia F., Gao S., Shang Y., Li J., Zhao C. Holocene aeolian activity and climatic change in Qinghai Lake basin, northeastern Qinghai—Tibetan Plateau // Palaeogeogr. Palaeoclimatol. Palaeoecol., 2015, v. 430, p. 1—10, doi.org/10.1016/j.palaeo.2015.03.044.

- **Luo D., Jin H., Lü L., Zhou J.** Spatiotemporal changes in extreme ground surface temperatures and the relationship with air temperatures in the Three-River Source Regions during 1980–2013 // Theor. Appl. Climatol., 2016, v. 123 (3), p. 885—897, doi.org/10.1007/s00704-015-1543-6.
- Owen L.A., Richards B., Rhodes E.J., Cunningham W.D., Windley B.F., Badamgarav J., Dorjnam-jaa D. Relic permafrost structures in the Gobi of Mongolia: age and significance // J. Quat. Sci., 1998, v. 13 (6), p. 539—547.
- **Pan B.T., Chen F.H.** Evolution of permafrost in the northeastern part of the Qinghai-Tibet Plateau during the past 150,000 years // J. Glaciol. Geocryol., 1997, v. 9 (2), p. 148—153 (in Chinese).
 - Pye K., Tsoar H. Aeolian sand and sand dunes. Berlin, Springer, 2009, 458 p.
- Qiang M., Jin Y., Liu X., Song L., Li H., Li F., Chen F. Late Pleistocene and Holocene aeolian sedimentation in Gonghe Basin, northeastern Qinghai-Tibetan Plateau: Variability, processes, and climatic implications // Quat. Sci. Rev., 2016, v. 132, p. 57—73, doi.org/10.1016/j.quascirev.2015.11.010.
- **Wang B., French H.M.** Soil wedge and ice-wedge pseudomorphs and their paleoclimatic implications // J. Glaciol. Geocryol., 1991, v. 13 (1), p. 67—76 (in Chinese).
- Wang N., Zhao Q., Li J., Hu G., Cheng H. The sand wedges of the last ice age in the Hexi Corridor, China: paleoclimatic interpretation // Geomorphology, 2003, v. 51 (4), p. 313—320, doi.org/10.1016/S0169-555X(02)00243-X.
- **Wang S.** The study of the permafrost degradation in Qinghai-Xizang (Tibet) Plateau // Adv. Earth Sci., 1997, v. 12 (2), p. 164—167 (in Chinese).
- Wang S., Luo X., Guo P.F. The distributive characteristics of frozen ground in the east of Qinghai-Xizang plateau // J. Glaciol. Geocryol., 1991, v. 13 (2), p. 131—140 (in Chinese).
- Waters M.R., Forman S.L., Pierson J.M. Late Quaternary geology and geochronology of Diring Yuriakh, an early Paleolithic site in Central Siberia // Quat. Res., 1999, v. 51, p. 195—211, doi.org/10.1006/qres.1998.2024.
- Xiao J.H., Qu J.J., Yao Z., Pang Y., Zhang K. Morphology and formation mechanism of sand shadow dunes on the Qinghai-Tibet Plateau // J. Arid Land, 2015, v. 7 (1), p. 10—26, doi: 10.1007/s40333-014-0074-9.
- **Xu S.Y., Pan B.T.** Periglacial wedges and their formation environments in the eastern part of the Qinghai Plateau // Proceedings of the 4th Chinese Conference on Glaciology and Geocryology. Beijing, Sci. Press, 1990, p. 17—24 (in Chinese).
- Xu S., Zhang W., Xu D., Xu Q., Shi S. Discussion on the periglacial development in the Northeast marginal region of Qinghai-Xizang Plateau // J. Glaciol. Geocryol., 1984, v. 6 (2), p. 15—25 (in Chinese).
- Yang X.P., Rost K.T., Lehmkuhl F., Zhu Z.D., Dodson J. The evolution of dry lands in northern China and in the Republic of Mongolia since the Last Glacial Maximum // Quat. Int., 2004, v. 118—119, p. 69—85.